УДК 539.12.01

DOI: https://doi.org/10.54341/20778708_2025_3_64_56

EDN: NGSETJ

ЧИСЛЕННОЕ РЕШЕНИЕ ДВУМЕРНОГО УРАВНЕНИЯ ЛОГУНОВА – ТАВХЕЛИДЗЕ ДЛЯ ПОТЕНЦИАЛА ГАУССА, ЗАДАННОГО В РЕЛЯТИВИСТСКОМ КОНФИГУРАЦИОННОМ ПРЕДСТАВЛЕНИИ

В.Н. Капшай, А.В. Павленко, Ю.А. Гришечкин

Гомельский государственный университет имени Франциска Скорины

NUMERICAL SOLUTION OF THE TWO-DIMENSIONAL LOGUNOV – TAVKHELIDZE EQUATION FOR GAUSSIAN POTENTIAL IN THE RELATIVISTIC CONFIGURATION REPRESENTATION

V.N. Kapshai, A.V. Paulenka, Yu.A. Grishechkin

Francisk Skorina Gomel State University

Аннотация. Численно решены в релятивистском конфигурационном представлении двумерные парциальные интегральные квазипотенциальные уравнения, описывающие связанные состояния системы двух скалярных частиц равной массы при моделировании взаимодействия потенциалом Гаусса. Установлено, что – в зависимости от значений параметров потенциала – парциальные волновые функции основного состояния могут обладать одним нулём, двумя нулями или большим количеством нулей. Показано, что в предельном переходе гауссова потенциала в сингулярный потенциал «дельта-окружность» численные решения асимптотически сходятся к точным аналитическим решениям, соответствующим этому предельному случаю.

Ключевые слова: двумерное уравнение Логунова — Тавхелидзе, релятивистское конфигурационное представление, импульсное представление, двумерная функция Грина, волновая функция, двухчастичная система, связанные состояния, потенциал Гаусса, дельта-окружность.

Для цитирования: *Капшай*, *В.Н.* Численное решение двумерного уравнения Логунова – Тавхелидзе для потенциала Гаусса, заданного в релятивистском конфигурационном представлении / В.Н. Капшай, А.В. Павленко, Ю.А. Гришечкин // Проблемы физики, математики и техники. – 2025. – № 3 (64). – С. 56–61. – DOI: https://doi.org/10.54341/20778708_ 2025_3_64_56. – EDN: NGSETJ

Abstract. Numerical solutions are obtained for the two-dimensional partial-wave integral quasipotential equations in the relativistic configuration space representation, describing the bound states of a system of two scalar particles of equal mass interacting via a Gaussian potential. A non-trivial spectral property is established: within certain ranges of the potential parameters, the ground state possesses a wave function with one, two or more nodes. The limiting transition is demonstrated as the Gaussian potential degenerates into the singular "delta-circle" potential: the numerical solutions asymptotically approach those for this limiting case.

Keywords: two-dimensional Logunov – Tavkhelidze equation, relativistic configurational representation, momentum representation, two-dimensional Green's function, wave function, two-particle system, bound states, Gaussian potential, delta-circle potential.

For citation: *Kapshai*, *V.N.* Numerical solution of the two-dimensional Logunov – Tavkhelidze equation for Gaussian potential in the relativistic configuration representation / V.N. Kapshai, A.V. Paulenka, Yu.A. Grishechkin // Problems of Physics, Mathematics and Technics. – 2025. – № 3 (64). – P. 56–61. – DOI: https://doi.org/10.54341/20778708_2025_3_64_56 (in Russian). – EDN: NGSETJ

Введение

В работе [1] для описания низкоэнергетического рассеяния нуклонов было предложено использовать потенциал Гаусса. Потенциалы этого типа активно использовались также для описания нерелятивистских связанных состояний [2]—[11]. Авторами этих работ решались трёхмерное [2]—[9], двумерное [10] и одномерное [1] уравнения Шрёдингера. Однако решение релятивистской задачи об определении связанных состояний системы двух скалярных частиц с учетом потенциала Гаусса, заданного в двумерном релятивистском конфигурационном представлении

(РКП), ранее не рассматривалось. В настоящей работе мы рассмотрим эту задачу.

1 Двумерные парциальные квазипотенциальные уравнения

Двумерные интегральные уравнения квазипотенциального типа, сформулированные в импульсном представлении (ИП) для описания связанных состояний системы двух скалярных частиц одинаковой массы m в системе их центра масс, аналогичны трехмерным и имеют вид ($\hbar = c = 1$):

$$\psi(E_q, \mathbf{p}) = \frac{1}{(2\pi)^2} G_0(E_q; E_p) \times \\ \times \int V(E_q; \mathbf{p}, \mathbf{k}) \psi(E_q, \mathbf{k}) \frac{m}{E_k} d^2k,$$

$$E_p = \sqrt{\mathbf{p}^2 + m^2}; \qquad (1.1)$$

где $\psi(E_q,\mathbf{p})$ — волновая функция; \mathbf{p} и \mathbf{k} — двумерные импульсы; $V(E_q;\mathbf{p},\mathbf{k})$ — квазипотенциал; $2E_q=2\sqrt{q^2+m^2}$ — энергия двухчастичной системы $(0\leq E_q<2m);$ $G_0(E_q;E_p)$ — свободная функция Грина. Для связанных состояний используются обозначения

$$q = m \operatorname{sh}(i w_q) = i m \operatorname{sin} w_q;$$

$$E_q = m \operatorname{ch}(i w_q) = m \operatorname{cos} w_q,$$

а w_q — параметр, принадлежащий интервалу $(0;\pi/2]$. В настоящей работе рассмотрим уравнение Логунова — Тавхелидзе, функция Грина которого имеет вид

$$G_0(E_q; E_p) = \frac{1}{E_q^2 - E_p^2}.$$
 (1.2)

В рамках квантовой теории поля переход от двумерного ИП к двумерному РКП осуществляется посредством разложения всех величин, содержащихся в интегральном уравнении (1.1), по функциям вида [11], [12]

$$\xi(\mathbf{p}, \mathbf{\rho}) = \left(\frac{E_p - \mathbf{p} \mathbf{n}_{\mathbf{\rho}}}{m}\right)^{-\frac{1}{2} - im\rho},$$

где $\rho = \rho n_{\rho}$ радиус-вектор в РКП, ρ — его модуль. Преобразование волновой функции из ИП в РКП и обратное ему соответственно имеют вид

$$\psi(E_q, \mathbf{p}) = \frac{1}{(2\pi)^2} \int \xi(\mathbf{p}, \mathbf{p}) \psi(E_q, \mathbf{p}) \frac{m}{E_p} d\mathbf{p}, \quad (1.3)$$

$$\psi(E_q, \mathbf{p}) = \int \xi^*(\mathbf{p}, \boldsymbol{\rho}) \psi(E_q, \boldsymbol{\rho}) d\boldsymbol{\rho}, \qquad (1.4)$$

где $\psi(E_a, \mathbf{p})$ – двумерная волновая функция в РКП.

Используя интегральные преобразования (1.3), (1.4) и уравнение (1.1) для волновой функции в ИП, нетрудно получить двумерное интегральное уравнение в РКП:

$$\psi(E_a, \mathbf{\rho}) =$$

$$= \int G(E_q; \mathbf{\rho}, \mathbf{\rho}') V(E_q; \mathbf{\rho}', \mathbf{\rho}'') \psi(E_q, \mathbf{\rho}'') d\mathbf{\rho}' d\mathbf{\rho}'', (1.5)$$

где введены обозначения

$$\begin{split} V(E_q; \mathbf{p}, \mathbf{k}) &= \int \boldsymbol{\xi}^*(\mathbf{p}, \boldsymbol{\rho}) V(E_q; \boldsymbol{\rho}, \boldsymbol{\rho}') \boldsymbol{\xi}(\mathbf{k}, \boldsymbol{\rho}') d\boldsymbol{\rho} d\boldsymbol{\rho}', \\ G(E_q; \boldsymbol{\rho}, \boldsymbol{\rho}') &= \end{split}$$

$$=\frac{1}{(2\pi)^2}\int \xi(\mathbf{p},\mathbf{\rho})G_0(E_q;E_p)\xi^*(\mathbf{p},\mathbf{\rho}')\frac{m}{E_p}d\mathbf{p}.$$
(1.6)

Интегральное уравнение (1.5) в случае локальных в РКП квазипотенциалов

$$V(E_a; \mathbf{\rho}, \mathbf{\rho}') = V(E_a; \mathbf{\rho})\delta(\mathbf{\rho} - \mathbf{\rho}'),$$

упрощается до

$$\psi(E_q, \mathbf{\rho}) = \int G(E_q; \mathbf{\rho}, \mathbf{\rho}') V(E_q; \mathbf{\rho}') \psi(E_q, \mathbf{\rho}') d\mathbf{\rho}'. \tag{1.7}$$

Разложение релятивистской плоской волны $\xi(\mathbf{p}, \mathbf{\rho})$ на парциальные составляющие имеет следующий вид:

$$\xi(\mathbf{p}, \boldsymbol{\rho}) = \sum_{\mu = -\infty}^{\infty} i^{\mu} s_{\mu}(\chi_{p}, \boldsymbol{\rho}) \exp(i\mu\alpha), \qquad (1.8)$$

где χ_p — быстрота, связанная с модулем импульса p выражением $p = m \operatorname{sh} \chi_p$; μ — азимутальное квантовое число; α — угол между векторами \mathbf{p} и \mathbf{p} ; $s_{\mu}(\chi_p, \rho)$ — парциальные волны, задаваемые выражениями [12]:

$$s_{\mu}(\chi_{p}, \rho) = i^{\mu} \frac{\Gamma(1/2 - im\rho)}{\Gamma(1/2 + \mu - im\rho)} P_{-im\rho-1/2}^{\mu}(\cosh \chi_{p}),$$

где $\Gamma(z)$ — гамма-функция Эйлера; $P_a^b(z)$ — функция Лежандра первого рода.

Парциальные волны $s_{\mu}(\chi_{\rho},\rho)$ можно записать в виде

$$\begin{split} s_{\mu}(\chi_{p},\rho) &= \frac{e_{\mu}^{+}(\chi_{p},\rho) - e_{\mu}^{-}(\chi_{p},\rho)}{2i}, \\ e_{\mu}^{\pm}(\chi_{p},\rho) &= \\ &= i^{\mu} \frac{2}{\pi} \operatorname{cth}(\pi m \rho) \frac{\Gamma(1/2 - i m \rho)}{\Gamma(1/2 + \mu - i m \rho)} Q_{-1/2 \mp i m \rho}^{\mu}(\operatorname{ch} \chi_{p}), \end{split}$$

где $Q_a^b(z)$ – функция Лежандра второго рода.

Парциальное разложение волновых функций и функции Грина представим выражениями:

$$\psi(E_q, \mathbf{p}) = \sum_{\mu = -\infty}^{\infty} \frac{i^{\mu}}{\sqrt{\rho}} \psi_{\mu}(i\mathbf{w}_q, \rho) e^{i\mu\alpha'};$$

$$\psi(E_q, \mathbf{p}) = \sum_{\mu = -\infty}^{\infty} \frac{1}{\sqrt{m \operatorname{sh} \chi_p}} \psi_{\mu}(i\mathbf{w}_q, \chi_p) e^{i\mu\beta}, \quad (1.9)$$

$$G(E_q; \mathbf{p}, \mathbf{p}') = \frac{1}{\sqrt{\rho \rho'}} \sum_{\nu = -\infty}^{\infty} G_{\mu}(i\mathbf{w}_q; \rho, \rho') e^{i\mu\gamma}, \quad (1.10)$$

где $\psi_{\mu}(i\mathbf{w}_{q}, \mathbf{\rho})$ и $\psi_{\mu}(i\mathbf{w}_{q}, \mathbf{\chi}_{p})$ – парциальные волновые функции в РКП и ИП соответственно; $\alpha'(\mathbf{\beta})$ – угол между $\mathbf{\rho}(\mathbf{p})$ и осью абсцисс; $G_{\mu}(i\mathbf{w}_{q}; \mathbf{\rho}, \mathbf{\rho}')$ – парциальная функция Грина в РКП; γ – угол между векторами $\mathbf{\rho}$ и $\mathbf{\rho}'$. С учетом выражений (1.8)–(1.10) получим парциальные аналоги (1.4), (1.6) и (1.7):

$$\psi_{\mu}(iw_{q},\chi_{p}) =$$

$$= 2\pi\sqrt{m \operatorname{sh}\chi_{p}} \int_{0}^{\infty} \sqrt{\rho} s_{\mu}^{*}(\chi_{p},\rho) \psi_{\mu}(iw_{q},\rho) d\rho,$$

$$G_{\mu}(iw_{q};\rho,\rho') = \frac{m^{2}\sqrt{\rho\rho'}}{2\pi} \times$$

$$\times \int_{0}^{\infty} \operatorname{sh}\chi_{p} s_{\mu}(\chi_{p},\rho) G_{0}(m \operatorname{ch} iw_{q};m \operatorname{ch}\chi_{p}) \times$$

$$\times s_{\mu}^{*}(\chi_{p},\rho') d\chi_{p},$$
(1.11)

$$\psi_{\mathfrak{u}}(i\mathbf{w}_{a}, \rho) =$$

$$=2\pi\int_{0}^{\infty}G_{\mu}(iw_{q};\rho,\rho')V(iw_{q};\rho')\psi_{\mu}(iw_{q},\rho')d\rho'. (1.12)$$

Интегралы (1.11) для функции Грина (1.2) можно вычислить с использованием теоремы Коши о вычетах. Приведем конечный результат:

$$G_{\mu}(iw_{q};\rho,\rho') = \frac{-i\sqrt{\rho\rho'} \operatorname{sh}(iw_{q})}{4\operatorname{sh}(2iw_{q})} \times \left[\frac{e_{\mu}^{+}(iw_{q},\rho)e_{\mu}^{+*}(iw_{q},\rho')}{1-\exp[-\pi m(\rho-\rho')]} + \frac{e_{\mu}^{-}(iw_{q},\rho)e_{\mu}^{-*}(iw_{q},\rho')}{1-\exp[\pi m(\rho-\rho')]} - \frac{e_{\mu}^{+}(iw_{q},\rho)e_{\mu}^{-*}(iw_{q},\rho')}{1-\exp[-\pi m(\rho+\rho')]} - \frac{e_{\mu}^{-}(iw_{q},\rho)e_{\mu}^{+*}(iw_{q},\rho')}{1-\exp[\pi m(\rho+\rho')]} \right]. (1.13)$$

Отметим, что сумме первых двух слагаемых, заключённых в квадратные скобки в выражениях (1.13), при $\rho = \rho'$ свойственна неопределенность вида 0/0, раскрывая которую, получим:

$$\begin{split} G_{\mu}(i\mathbf{w}_{q};\rho',\rho') &= \\ &= \frac{-i\rho' \, \mathrm{sh}(i\mathbf{w}_{q})}{4 \, \mathrm{sh}(2i\mathbf{w}_{q})} \Bigg[e_{\mu}^{-}(i\mathbf{w}_{q},\rho') e_{\mu}^{-*}(i\mathbf{w}_{q},\rho') + \\ &\quad + \frac{e_{\mu}^{+*}(i\mathbf{w}_{q},\rho')}{\pi m} \frac{\partial e_{\mu}^{+}(i\mathbf{w}_{q},\rho')}{\partial \rho'} - \\ &\quad - \frac{e_{\mu}^{-*}(i\mathbf{w}_{q},\rho')}{\pi m} \frac{\partial e_{\mu}^{-}(i\mathbf{w}_{q},\rho')}{\partial \rho'} - \\ &\quad - \frac{e_{\mu}^{+}(i\mathbf{w}_{q},\rho') e_{\mu}^{-*}(i\mathbf{w}_{q},\rho')}{1 - \exp\left[-2\pi m\rho'\right]} - \frac{e_{\mu}^{-}(i\mathbf{w}_{q},\rho') e_{\mu}^{+*}(i\mathbf{w}_{q},\rho')}{1 - \exp\left[2\pi m\rho'\right]} \Bigg]. \end{split}$$

Условия нормировки волновых функций уравнения Логунова — Тавхелидзе в РКП и ИП имеют вид

$$\int \left| \psi(E_q, \mathbf{p}) \right|^2 d\mathbf{p} = 1, \quad \int \left| \psi(E_q, \mathbf{p}) \right|^2 \frac{m}{E_n} d\mathbf{p} = 1.$$

Из них следуют условия нормировки для парциальных волновых функций:

$$2\pi \int_{0}^{\infty} \left| \psi_{\mu}(i \mathbf{w}_{q}, \rho) \right|^{2} d\rho = 1,$$

$$\frac{1}{2\pi} \int_{0}^{\infty} \left| \psi_{\mu}(i \mathbf{w}_{q}, \chi_{p}) \right|^{2} d\chi_{p} = 1.$$
(1.14)

2 Потенциал Гаусса

В настоящей работе исследуются связанные состояния системы двух скалярных частиц, взаимодействие между которыми описывается гауссовым потенциалом:

$$V_{\alpha}(\rho) = -\lambda \frac{1}{\alpha \sqrt{2\pi}} \exp\left(-\frac{(\rho - \rho_0)^2}{2\alpha^2}\right), \quad (2.1)$$

где λ , α и ρ_0 – положительные константы.

В пределе $\alpha \to 0$ потенциал (2.1) становится бесконечно узким и бесконечно глубоким в окрестности точки $\rho = \rho_0$ без изменения площади

под кривой, т. е. в данном пределе (2.1) соответствует дельта-функциональному взаимодействию и имеет вид

$$\lim_{\alpha \to 0} V_{\alpha}(\rho) = -\lambda \delta(\rho - \rho_0), \tag{2.2}$$

где $\delta(\rho - \rho_0)$ – дельта-функция. Известно, что система с «дельта-окружностью» (2.2) при каждом значении азимутального числа μ имеет одно связанное состояние или не имеет их вовсе – в зависимости от значений параметров λ и ρ_0 .

3 Численное решение задачи

Для численного решения интегрального уравнения (1.12) с функцией Грина (1.13) и квазипотенциалом (2.1) выберем такое достаточно большое $\rho = \rho_N$, чтобы в интервале $[\rho_N;\infty)$ квазипотенциал имел пренебрежимо малое значение. Разобьём интервал интегрирования $[0;\rho_N]$ на N равных отрезков длиной $h=\rho_N/N$ и применим квадратурную формулу прямоугольников:

$$\int_{0}^{\rho_{N}} f(\rho) d\rho \cong \sum_{j=1}^{N} h f(\rho_{j}). \tag{3.1}$$

Подставляя квазипотенциал (2.1) и дискретное представление (3.1) в исходные интегральные уравнения (1.12), а также фиксируя $\rho = \rho_i$ (i = 1, 2, ..., N), сформулируем задачу на собственные значения в матричном виде:

$$\frac{1}{\lambda} \Psi_{\mu}(i w_{q}, \rho_{i}) = \sum_{j=1}^{N} M_{i,j} \Psi_{\mu}(i w_{q}, \rho_{j}), \quad (3.2)$$

где

$$M_{i,j} = -2\pi h \frac{G_{\mu}(i\mathbf{w}_q; \rho_i, \rho_j)}{\alpha \sqrt{2\pi}} \exp\left(-\frac{(\rho_j - \rho_0)^2}{2\alpha^2}\right).$$

Решение этой задачи при каждом λ существует не при всех значениях \mathbf{w}_q , а только при некоторых. Технически для нахождения взаимозависимости величин \mathbf{w}_q и λ удобно фиксировать \mathbf{w}_q и находить соответствующие значения λ . Полученные таким образом графики зависимости λ от \mathbf{w}_q при $\mu=0$ и $\mu=1$ иллюстрированы на рисунке 3.1. Анализируя их, видим, что график функции $\mathbf{w}_q(\lambda)$ состоит из нескольких дискретных элементов, пронумерованных числом \mathbf{n} в порядке возрастания λ . Таким образом, в результате решения уравнения (3.2) получены условия квантования величины \mathbf{w}_q .

Как видно на рисунке 3.1, при определенном минимальном значении параметра λ в системе двух частиц возникает связанное состояние с энергией $2E_q=2m\cos w_q$, меньшей 2m. С ростом λ энергия состояния, которому соответствует фрагмент, обозначенный n=1, уменьшается до нуля, после чего само состояние исчезает. При дальнейшем увеличении λ возникает новое

связанное состояние (ему соответствует фрагмент, обозначенный как n=2) и становится новым основным состоянием системы (с наименьшим возможным значением энергии). При последующем росте λ энергия уровня n=2 также убывает до нуля, после чего и это состояние исчезает. Таким образом, при заданных параметрах системы, существует один энергетический уро-

вень или его нет вовсе. Сравнивая графики 3.1~a) и $3.1~\delta$), видим, что с ростом азимутального квантового числа связанное состояние существует при больших значениях λ/m .

На рисунке 3.2 изображены зависимости квадрата модуля парциальных волновых функций основного состояния системы от параметра ρm .

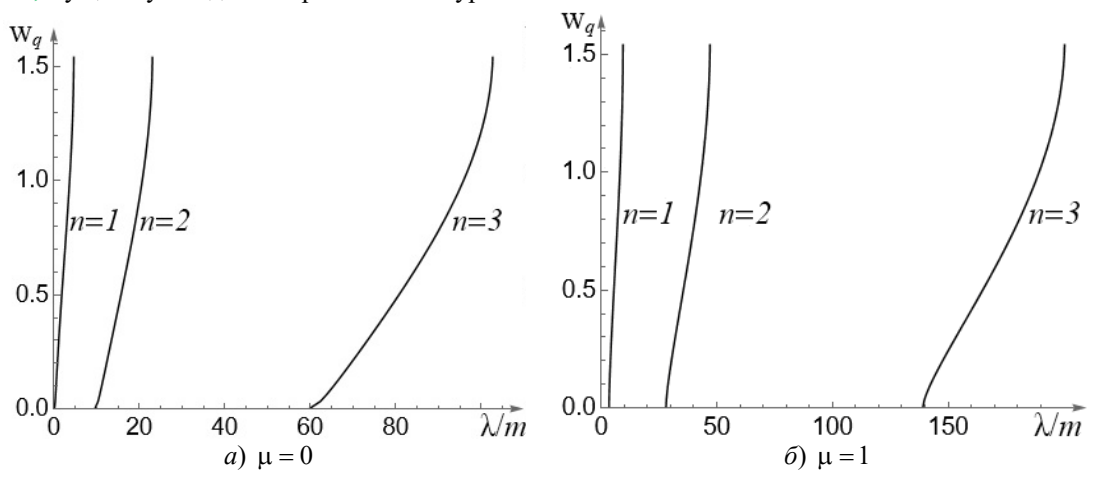


Рисунок 3.1 – Условие квантования энергии двухчастичной системы при $\alpha/m = 1$, $\rho_0 m = 1$

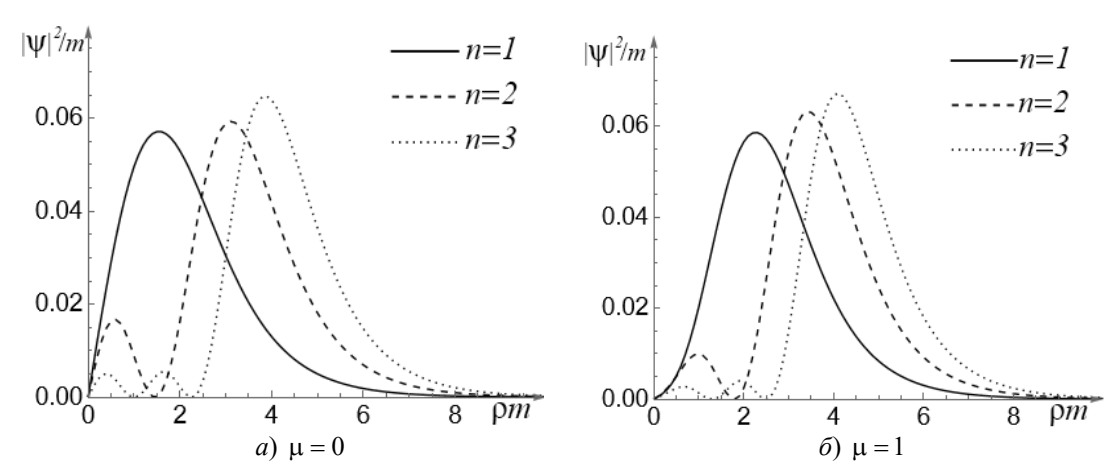


Рисунок 3.2 — Зависимость квадрата модуля парциальных волновых функций в РКП от параметра ρm при $\alpha/m=1,~\rho_0 m=1,~w_a=0,5$

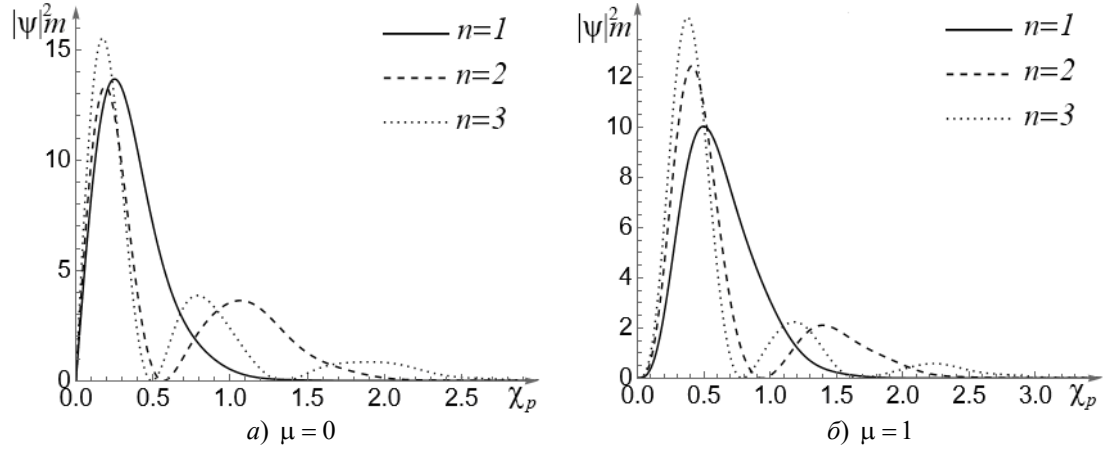


Рисунок 3.3 — Зависимость квадрата модуля парциальных волновых функций в ИП от быстроты χ_p при $\rho_0 m = 1, \ \mathbf{w}_q = 0,5$

На рисунке 3.2 видно, что с ростом азимутального квантового числа экстремумы изображенных функций смещаются в направлении увеличения координаты ρm , а число их нулей равно n.

На рисунке 3.3 иллюстрирована зависимость квадрата модуля парциальных волновых функций в ИП, полученных с учетом (1.14) из парциальных волновых функций в РКП, изображенных на рисунке 3.2.

Анализируя рисунок 3.3, заметим, что при увеличении азимутального квантового числа μ положения экстремумов иллюстрированных функций смещаются в область больших значений быстроты χ_p . Количество нулей у изображенных функций равно n.

4 Предельный случай

Подставляя потенциал (2.2) в уравнение (1.12) и вычисляя интеграл в его правой части с учетом свойств дельта-функции, получим

$$\psi_{\mu}(iw_{a}, \rho) = -\lambda 2\pi G_{\mu}(iw_{a}; \rho, \rho_{0})\psi_{\mu}(iw_{a}, \rho_{0}).$$
 (4.1)

Для нахождения условия квантования энергии положим в (4.1) $\rho = \rho_0$, тогда

$$1 = -\lambda 2\pi G_{\mu}(iw_{a}; \rho_{0}, \rho_{0}). \tag{4.2}$$

В целях сравнения условий квантования, полученных для первого состояния (соответствующего n=1) посредством решения системы уравнений (3.2) и на основании уравнения (4.2), изобразим зависимости \mathbf{w}_q от λ на рисунке 4.1 соответственно штриховой линией и сплошной.

На рисунке 4.2 сплошной линией изображены зависимости квадрата модуля парциальных волновых функций (4.1), штриховой линией — парциальных волновых функций, полученных на основе (3.2) при $\alpha/m = 0.5$, а точками — этих же функций, но при $\alpha/m = 0.2$ от параметра ρm .

На рисунках 4.1 и 4.2 видно, что с уменьшением параметра α результаты численного решения квазипотенциального уравнения для основного состояния (соответствующего n=1), полученные для потенциала Гаусса, сближаются с результатами точного решения, соответствующими потенциалу «дельта-окружность».

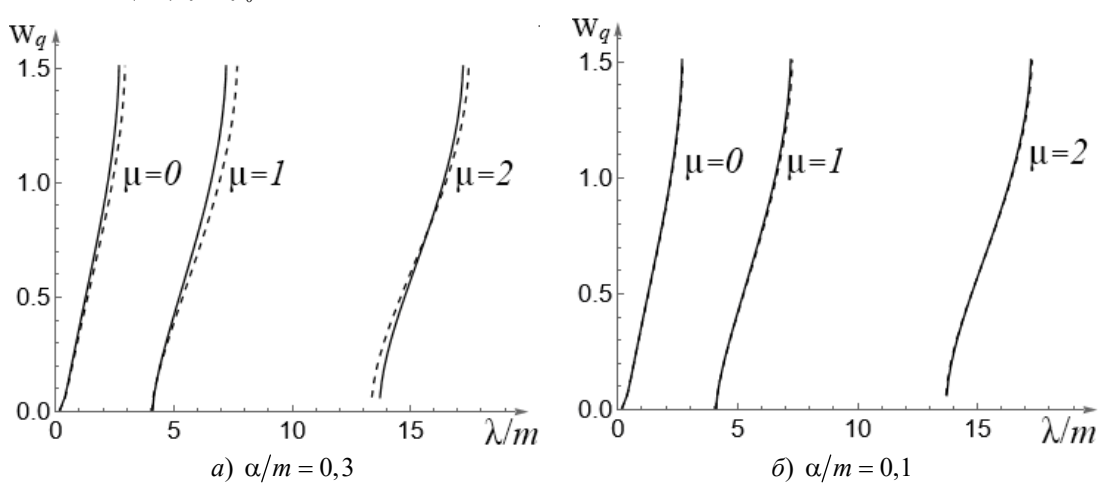


Рисунок 4.1 — Сравнение условий квантования энергии при моделировании взаимодействия потенциалом Гаусса и «дельта-окружностью» (при $\rho_0 m = 1$)

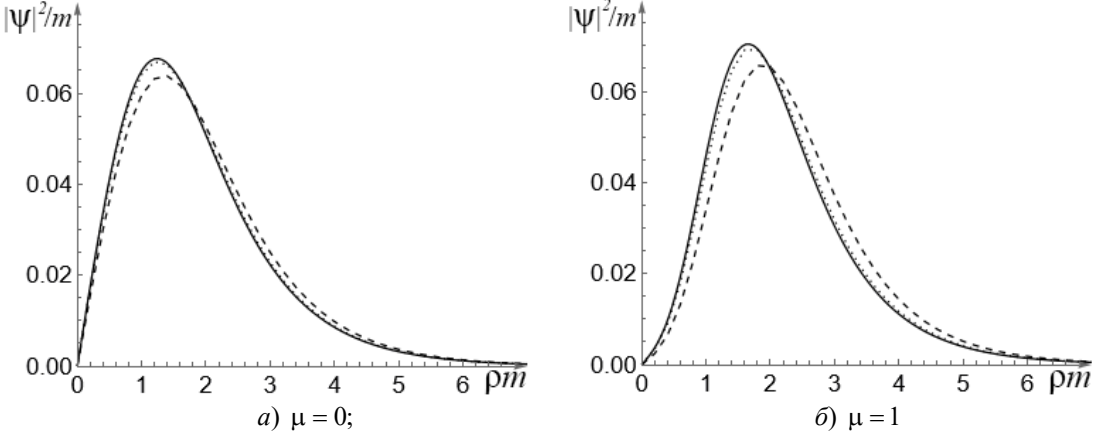


Рисунок 4.2 — Зависимость квадрата модуля парциальных волновых функций состояния с n=1 от параметра ρm при $\alpha/m=1$, $\rho_0 m=1$, $w_q=0,5$

Заключение

В настоящей работе при выборе взаимодействия в виде потенциала Гаусса получены численные решения двумерных парциальных интегральных квазипотенциальных уравнений в релятивистском конфигурационном представлении, которые описывают связанные состояния системы двух скалярных частиц одинаковой массы. Получены условия квантования энергии, а также парциальные волновые функции в релятивистском конфигурационном представлении и импульсном представлении. При анализе результатов выявлено, что в определенных диапазонах параметров потенциала основному состоянию может соответствовать волновая функция с одним нулем, двумя нулями, тремя и более нулями.

Показано, что при стремлении параметра ширины гауссова потенциала к нулю (а глубины потенциала к бесконечности) он вырождается в бесконечно глубокую и бесконечно узкую потенциальную яму, и при $\alpha \to 0$ переходит в потенциал «дельта-окружность». Продемонстрировано, что с уменьшением параметра ширины гауссова потенциала численно полученные результаты асимптотически стремятся к точным аналитическим решениям, соответствующим предельному варианту потенциала «дельта-окружность».

ЛИТЕРАТУРА

- 1. *Buck*, *B*. Local potential models for the scattering of complex nuclei / B. Buck, H. Friedrich, C. Wheatley // Nuclear Physics A. -1977. T. 275, No. 1. C. 246-268.
- 2. *Gomez*, *S.S.* Few-electron semiconductor quantum dots with Gaussian confinement / S.S. Gomez, R.H. Romero // Central Eur. J. Phys. 2009. Vol. 7. P. 12–21.
- 3. *Koksal*, *K*. A simple analytical expression for bound state energies for an attractive Gaussian confining potential / K. Koksal // Phys. Scr. 2012. Vol. 86. P. 035006.
- 4. *Fernández*, *F. M.* Quantum Gaussian wells and barriers / F.M. Fernández // American Journal of Physics. 2011. T. 79, № 7. C. 752–754.
- 5. Bound Magneto-Acoustic Polaron in an Asymmetric Gaussian Confinement Potential Quantum Well / F. Manfouo [et al.] // International Journal of Theoretical Physics. 2024. T. 63, № 3. C. 70.
- 6. *Кудряшов*, *В.В.* Решение радиального уравнения Шрёдингера для потенциала Гаусса в модифицированном ВКБ-приближении /

- В.В. Кудряшов, А.В. Баран // Доклады Национальной академии наук Беларуси. 2013. Т. 57, $N \ge 5$. С. 43—48.
- 7. *Mutuk*, *H*. Asymptotic iteration and variational methods for Gaussian potential / H. Mutuk // Pramana J. Phys. 2019. P. 66.
- 8. Гришечкин, Ю.А. Об одном приближенном аналитическом методе решения уравнения Шрёдингера с гауссовым потенциалом / Ю.А. Гришечкин, А.В. Павленко, В.Н. Капшай // Проблемы физики, математики и техники. -2019. -№ 4 (41). -C. 7–10.
- 9. *Гришечкин*, Ю.А. Приближенный аналитический метод решения уравнения Шрёдингера с гауссовым потенциалом в импульсном представлении / Ю.А. Гришечкин, А.В. Павленко // Проблемы физики, математики и техники. 2020. № 3 (44). С. 18—21.
- 10. The Energy of the Ground State of the Two-Dimensional Hamiltonian of a Parabolic Quantum Well in the Presence of an Attractive Gaussian Impurity / S.Fassari, M. Gadella, L.M. Nieto, F. Rinaldi // Symmetry. 2021. T. 13, № 9. C. 1561.
- 11. On the spectrum of the one-dimensional Schrödinger Hamiltonian perturbed by an attractive Gaussian potential / S. Fassari, M. Gadella, L.M. Nieto, F. Rinaldi // Acta Polytechnica. 2017. Vol. 57, № 6. C. 358–390.
- 12. *Nagiyyev*, *S.M.* The relativistic two-dimensional harmonic oscillator / S.M. Nagiyyev, E.A. Jafarov, M.Y. Efendiyev // IL Nuovo Cimento. 2009. Vol. 124B. P. 182–185.
- 13. *Мир-Касимов*, Р.М. Релятивистские операторы кинематического импульса / Р.М. Мир-Касимов // Физика элементарных частиц и атомного ядра теория Письма в ЭЧАЯ. 2010. Т. 7, $N \ge 5$ (161). С. 505—515.

Работа выполнена при финансовой поддержке БРФФИ (грант по проекту Ф25M-004).

Поступила в редакцию 11.06.2025.

Информация об авторах

Капшай Валерий Николаевич – к.ф.-м.н., доцент Павленко Андрей Васильевич – аспирант Гришечкин Юрий Алексеевич – к.ф.-м.н., доцент